

Original Research Article

# Decadal variation of evaporation with respect to the variability of some climatic elements in the Zayandeh\_Roud basin

Narges Hesami<sup>1\*</sup>, Hossein Asakereh<sup>2</sup>, Kohzad Raispour<sup>3</sup>

<sup>1</sup> PhD student of climatology, Zanjan University, Zanjan, Iran

<sup>2</sup> professor of climatology, Zanjan University, Zanjan, Iran

<sup>3</sup> assistant professor, Zanjan University, Zanjan, Iran



10.22034/GRD.2023.18986 .1549

Received:  
September 21, 2022  
Accepted:  
February 12, 2023

**Keywords:**  
Climate change,  
Zayandeh\_Roud basin,  
Multivariate regression,  
Evaporation process,  
Variation

## Abstract

Evaporation is a vital process by which moisture is transferred from the earth's surface and other sources to the atmosphere. The accurate assessment and comprehension of evaporation are crucial in calculating water balance and managing water resources effectively. The understanding of various climatic factors that influence the evaporation process, such as radiation, air temperature, wind speed and relative humidity, is essential. The variability of evaporation on different timescales, particularly during global warming, highlights one of the significant manifestations of climate change. In this regard, examining decadal changes in evaporation and the parameters affecting it plays a vital role in medium-term planning and water resource management. The present study aimed to analyze the decadal changes in evaporation concerning effective parameters, specifically temperature, dryness and wind. To achieve this objective, the daily databases of evaporation, temperature, relative humidity and wind were utilized. They were obtained from an interpolation of synoptic, climatology, meteorology, and rain gauge stations supervised by the Ministry of Energy from 1969 through 2018. The corresponding spatial resolution was  $4 \times 4$  km. The findings of the study demonstrated that temperature plays a more critical and effective role in the evaporation process than the other parameters. However, the share of this parameter decreased from the first decade (1969–1978) to the last decades. Humidity has the second most significant impact on the evaporation process among the atmospheric elements. Conversely, the role of temperature increased from the earlier decades to the last decade (2009–2018). Similarly, in the case of wind, its role increased from the first decade (1969–1978) to the last decade (2009–2018). In conclusion, this study underscores the importance of understanding the parameters that affect evaporation rates, especially with respect to climate change. By analyzing the decadal changes in evaporation and the influencing parameters, water resource managers can better conduct medium-term planning to ensure the efficient and sustainable management of water resources.

E-ISSN: 2588-7009 /© 2023. Published by Yazd University. This is an open access article under the CC BY 4.0 License (<https://creativecommons.org/licenses/by/4.0/>).



\* Corresponding Author: Narges Hesami  
Address: Zanjan University, Iran

Email: N\_hesami12@yahoo.com

## Extended Abstract

### 1. Introduction

Evaporation is the process of transferring moisture from water bodies and the earth's surface into the atmosphere. Identifying and assessing evaporation is a crucial step in calculating the water budget, which can aid water resources management. From a climatic perspective, several factors influence the evaporation process, including radiation, air temperature, wind speed, and relative humidity of the atmosphere. The variability of evaporation on different time scales, particularly in the context of global warming trends, is a significant manifestation of climate change. Identifying the decadal changes in evaporation and the associated effective parameters is essential for the medium-term planning and management of water resources. Therefore, the main objective of this study is to analyze the decadal changes in evaporation with respect to influential parameters such as temperature, humidity and wind.

### 2. Data and methods

To achieve our objectives, we used graded daily databases containing relevant parameters such as evaporation, temperature, relative humidity, and wind speed. These databases had a spatial resolution of  $4 \times 4$  km and were extracted from synoptic, climatology, and rain gauge data interpolation stations from 1969 to 2018.

To analyze changes in the studied variables, we calculated the spatial average of daily spatial distribution for each variable across the entire period as well as for each of the five successive decades studied. Additionally, we conducted multivariate standard regression to track the role of each of the three studied climatic parameters (humidity, wind, and temperature) in the decadal changes of evaporation. Each variable was standardized in terms of its mean and standard deviation using the following formula.

$$z_{ij} = \frac{x_{ij} - x_j}{s_j}$$

Finally, to justify the spatial variation of evaporation, we used the following regression model for K, the independent variable.

$$E_i = \sum_{i=1}^k b_i z_i + e_i$$

### 3. Results and discussion

The present research has revealed that, in the Zayandeh-Rood catchment, there is a northward decrease in temperature and annual evapotranspiration as a result of the negative correlation between latitude and these parameters. Conversely, as altitude descends from the northwest to the southeast of the river basin, climatic elements such as heat and evaporation increase, while the other elements such as humidity and precipitation decrease. This transition signifies a shift from a cold and humid climate in the northwest to a hot and dry climate in the southeast.

The mountainous regions in the northwest experience the lowest average temperatures, which increase towards the southeast. Consequently, the areas with lower temperatures are associated with less evaporation, and higher evaporation rates are observed in regions with higher temperatures. This fact is reflected in the strong positive correlation (0.9) between temperature and evaporation. On the other hand, a significant negative correlation coefficient (0.79) was observed between evaporation and relative humidity, with the highest relative humidity in the northwest of the study area. It was found decreasing towards the southeast.

The correlation between wind speed and evaporation was found to be lower than the other correlations. Wind speeds are lower in the western half of the study area and increase towards the eastern half of the basin.

The results suggest that, compared to the other parameters, temperature has a more significant impact on the evaporation process (with a correlation coefficient of 0.9). However, the proportion of its effect decreased from the first decade (1978-1969) to the last decade. Humidity ranked second among the atmospheric parameters in terms of its influence on the evaporation process (with a correlation coefficient of 0.79). The role of temperature increased from the early decades to the final decade (2019-2009), while the same trend was observed for wind, which played an increasingly important role in the evaporation process from the first decade (1978-1969) to the last decade (2018-2019).

#### 4. Conclusion

In this study, multivariate regression was done to analyze the correlation between three atmospheric parameters (namely temperature, humidity and wind speed) and evaporation from 1969 to 2018. The primary objective was to identify the most significant parameter that affects evaporation in the study area. Subsequently, we discussed the changes in the relationship between these variables and evaporation in the studied decades.

Based on the general characteristics of the basin, the temperature and wind were higher in its southern parts than in the northern areas. Also, the rate of evaporation was lower in the northern half and higher in the southern half. On the other hand, there was more moisture in the northern parts of the study area than in the southern regions.

The research results indicated that temperature is the most influential parameter concerning evaporation, with a statistically significant correlation at a 95% confidence level throughout the basin. However, it was found that the role of temperature declined from the first decade to the last decade, while humidity and wind became increasingly important factors to affect evaporation.

مقاله پژوهشی

## وردایی دهه‌ای تبخیر در ارتباط با تغییرپذیری برخی عناصر اقلیمی در حوضه زاینده‌رود

نرگس حسامی<sup>۱\*</sup>، حسین عساکر<sup>۲</sup>، کوهزاد رئیس پور<sup>۳</sup>

<sup>۱</sup> انشجوي دكتري تغييرات آب و هواي دانشگاه زنجان، زنجان، ايران.

<sup>۲</sup> استاد گروه جغرافيا، دانشكده علوم انساني، دانشگاه زنجان، زنجان، ايران

<sup>۳</sup> استاديار گروه جغرافيا، دانشكده علوم انساني، دانشگاه زنجان، زنجان، اiran



10.22034/GRD.2023.18986.1549

### چکیده

تبخير فرایند انتقال رطوبت از سطح زمین- منابع رطوبتی به جو است. شناخت و ارزیابی تبخیر، یک بخش مهم در محاسبه بیلان آب و مدیریت صحیح منابع آب است. از منظر اقلیمی، عوامل متعددی در فرایند تبخیر دخالت دارند که از مهم‌ترین آن‌ها می‌توان به تابش و دمای هوا، سرعت باد و رطوبت نسبی اشاره کرد. تغییرپذیری تبخیر در مقیاس‌های زمانی مختلف بهویژه طی فرایند و روند گرمایش زمین، ازجمله مظاهر درخور توجه تغییرات اقلیمی است. بررسی تغییرات دهه‌ای تبخیر و فراسنج‌های مؤثر بر آن، نقش موثری در برنامه‌ریزی میان‌مدت و مدیریت منابع آب ایفا می‌کند. هدف از پژوهش حاضر واکاوی تغییرات دهه‌ای تبخیر در ارتباط با فراسنج‌های مؤثر (دماء، خشکی و حرکت هوا) بر این فراسنج است. بدین منظور از پایگاه داده‌های روزانه تبخیر، دماء، رطوبت نسبی و باد، حاصل میان‌یابی ایستگاه‌های همدید، اقلیم‌شناسی هواشناسی و باران‌سنگی وزارت نیرو طی بازه زمانی ۱۹۶۹-۲۰۱۸ با تفکیک مکانی  $4 \times 4$  کیلومتر استفاده شد. نتایج نشان داد فراسنج دما نسبت به سایر فراسنج‌ها نقش مهمتر و موثرتری بر فرایند تبخیر دارد، ولی میزان سهم این فراسنج از دهه اول (۱۹۷۸-۱۹۶۹) به سمت دهه‌های انتهایی رو به کاهش است. رطوبت از میان عناصر جوی جایگاه دوم را به لحاظ تأثیر بر فرایند تبخیر دارد که بالعکس دما نقش آن از دهه‌های ابتدایی به سمت دهه انتهایی (۲۰۰۹-۱۹۶۹) رو به افزایش است. همین روند در مورد فرایند باد نیز تکرار شده و نقش آن از دهه اول (۱۹۷۸-۱۹۶۹) به سمت دهه انتهایی (۲۰۰۹-۲۰۱۸) رو به افزایش است.

تاریخ دریافت:

۱۴۰۱/۰۶/۳۰

تاریخ پذیرش:

۱۴۰۱/۱۱/۲۳

کلیدواژه‌ها:

تبخير اقلیم، حوضه زاینده‌رود،  
رگرسیون چندمتغیره، فرایند تبخیر،  
وردایی



## ۱ مقدمه

در گزارش‌های هیئت بین‌الدول تغییر اقلیم (IPCC)<sup>۱</sup>، بر تغییرات آب و هوایی تاکید گردیده است. تغییر اقلیم به تغییرات معنی‌دار آماری در میانگین‌های اقلیمی یا تعییرپذیری آن برای دوره‌های طولانی‌مدت، اشاره دارد که این تغییرات به علت رخداد فرایندهای طبیعی یا تداوم تغییرات ناشی از فعالیت‌های بشر در ترکیب‌های جوی و یا تغییر کاربری زمین است. این هیئت افزایش دمای کره زمین را /۲ درجه سلسیوس در هر دهه گزارش کرده است (IPCC، ۲۰۰۷، ۷). شرایط اقلیمی گرم‌تر باعث تغییر رفتار عناصر مختلف اقلیمی و به‌ویژه تبخیر می‌شود. تبخیر و تعرق یکی از پیوندگاه‌های سه جزء مهم زیست‌کره، آب‌کره و هوکره به شمار می‌آید (زو<sup>۲</sup> و همکاران، ۶۶؛ ۲۰۰۸) و بعد از بارش، اصلی‌ترین جزء چرخه آب‌شناختی است که مقدار هدررفت آب را به صورت کمی بیان می‌کند (گودرزی و همکاران، ۱۳۹۷: ۱). از این منظر تبخیر از اجزای اصلی مؤثر بر رواناب است که از مولفه‌های اقلیمی مهم همچون دما، باد، رطوبت و... بسیار متأثر بوده است. نقش هر یک از این عوامل بر روی تبخیر و تعرق با توجه به فصل سال و بیوگری‌های توپوگرافی منطقه متغیر است (علیجانی، ۱۳۹۰، ۴؛ دهقانی‌سنجد و همکاران؛ ۲۰۰۴، ۲، موسوی بایگ و همکاران، ۱۳۸۹؛ علیزاده، ۱۳۹۰). از آن‌جا که میزان تبخیر و تعرق مستقیماً با متغیرهای اقلیمی در ارتباط است، انتظار می‌رود با تغییر در فراسنج‌های اقلیمی، به‌ویژه دمای هوای میزان آن نیز تغییر پیدا کند (گودرزی و همکاران، ۱۳۹۷: ۱؛ هوئرو و لی هوئرو<sup>۳</sup>، ۱۹۹۳: ۹۶). واضح است که این مؤلفه‌ها تحت تأثیر تحولات اقلیمی، واکنش‌های مختلفی را از خود بروز می‌دهند.

در میان متغیرهای جوی اقلیم (در مقایسه با متغیرهایی نظیر دما و بارش)، تحقیقات اندکی در زمینه بررسی و واکاوی فراسنج تبخیر صورت گرفته است. در این زمینه استسوانو<sup>۴</sup> و همکاران (۲۰۰۷)، به ارزیابی تبخیر و تعرق در مناطق جنگلی حوضه مکونگ پرداختند. نتایج نشان داد سهم جنگل‌ها در قسمت جنوبی حوضه یکی از مولفه‌های غالب تبخیر و تعرق کل حوضه است. مسکیتا<sup>۵</sup> و همکاران (۲۰۲۰)، به بررسی تبخیر و تعرق در دریاچه‌ای در بربازی پرداختند. نتایج نشان داد شرایط اقلیمی و کیفیت آب بر تبخیر و تعرق تأثیر مستقیم دارد. سالاریان و همکاران (۱۳۹۳) با استفاده از روش‌های تشخشعی – فاثو<sup>۶</sup>، بلانی<sup>۷</sup> – کریدل<sup>۸</sup>، هارگریوز – سامانی<sup>۹</sup>، پریستلی<sup>۱۰</sup>، مکینگ<sup>۱۱</sup>، تورک<sup>۱۲</sup> و فاثو پنم<sup>۱۳</sup> – مانندیت به محاسبه تبخیر و تعرق در شهرستان اصفهان پرداختند. نتایج نشان داد اکثر این معادلات برای فصل سرد سال کاربرد داشته است.

گودرزی و همکاران (۱۳۹۷) به مدل‌سازی و شبیه‌سازی تبخیر با استفاده از مدل‌های آماری LARS-WG و SDSM در حوضه آبخیز دریاچه ارومیه پرداختند. نتایج نشان داد میزان تبخیر و تعرق محاسبه شده در تمامی ماه‌ها و تمامی فصول و در دوره‌های آتی تحت تأثیر دما افزایش خواهد یافت. قره‌لو و قاسمی فر (۱۳۹۸)، به تعییرپذیری فضایی تبخیر و تعرق در ارتباط با دماهای حدی در ایران پرداختند. نتایج نشان داد دو عامل دمای هوای و رطوبت خاک تعیین کننده اصلی ارتباط این پارامترها هستند.

برارخانپور و همکاران (۱۴۰۰)، به بررسی روند تغییرات تبخیر با استفاده از روش‌های رگرسیون چندک و رگرسیون چندک بیزی پرداختند. نتایج بررسی عوامل مؤثر بر تبخیر نشان داد که در تمام مقیاس‌های زمانی، بیشتری مولفه مؤثر بر تبخیر به ترتیب دما، رطوبت‌نسبی، سرعت باد و ساعات آفتابی بوده است. از دیگر تحقیقات انجام شده در این زمینه می‌توان به لیانگ<sup>۱۱</sup> و همکاران (۲۰۱۰)، ماتیگا<sup>۱۲</sup> و همکاران (۲۰۱۰)، یوتینگ<sup>۱۳</sup> و همکاران (۲۰۱۲)، پائول<sup>۱۴</sup> و همکاران (۲۰۱۳)، گو<sup>۱۵</sup> و همکاران (۲۰۱۴)، نورانی<sup>۱۶</sup> و همکاران (۲۰۲۰)، ایتو و مومنی<sup>۱۷</sup> (۲۰۲۱)، گو<sup>۱۸</sup> و همکاران (۲۰۲۱)، رودریگز<sup>۱۹</sup> و همکاران (۲۰۲۱)، تیان<sup>۲۰</sup> و همکاران (۲۰۲۱)، کوچکزاده و نیکبخت (۱۳۸۳)، علیزاده و همکاران (۱۳۸۹)، ثانی نژاد و همکاران (۱۳۹۰)، بابائیان و کوهی (۱۳۹۱)، کوهی و همکاران (۱۳۹۵)، خسرویان و همکاران (۱۳۹۹)، اسدی و کرمی (۱۳۹۹) اشاره کرد. با نظر به مطالعات قبلی مشخص می‌شود کمتر به بررسی تأثیر فراسنج‌های مهم بر تبخیر در سطح حوضه پرداخته شده و بیشتر به روش‌های مؤثر برآورد این پارامتر و شبیه‌سازی آن در آینده پرداخته شده است. مطالعات کمی نیز در این زمینه در سطح حوضه انجام گرفته است.

در بسیاری از پژوهش‌ها اصول و روش‌های آماری به عنوان روش‌شناسی پذیرفته شده برای واکاوی بسیاری از مسائل پیچیده تصمیم‌گیری به شمار می‌آیند. یکی از روش‌های آماری، روش رگرسیون خطی چندمتغیره است. هدف این روش در شکل کلی آن پیدا کردن ارتباط بین متغیر وابسته و متغیر مستقل است (جعفری و دین‌پژوه، ۱۳۹۶: ۸۴). در بسیاری از پژوهش‌های اقلیمی معادلات

<sup>11</sup> Liang

<sup>1</sup> Intergovernmental Panel on Climate Change

<sup>12</sup> Mutiga

<sup>2</sup> Xu

<sup>13</sup> Yuting

<sup>3</sup> Houerou and Le Houerou

<sup>14</sup> Paul

<sup>4</sup> Sawano

<sup>15</sup> Guo

<sup>5</sup> Mesquita

<sup>16</sup> Nourani

<sup>6</sup> Blaney- Criddle

<sup>17</sup> Ito and Momii

<sup>7</sup> Hargreaves-Samani

<sup>18</sup> Guo

<sup>8</sup> Priestly-Taylor

<sup>19</sup> Rodrigues

<sup>9</sup> Makkink

<sup>20</sup> Tian

<sup>10</sup> Torak

رگرسیون برای تلخیص یا توصیف مجموعه‌ای از داده‌ها و در مواردی، برای شناخت موثرترین فراسنج (از میان تعداد زیادی عناصر و عوامل اقلیمی) بر یک پدیده استفاده می‌شود (عساکره، ۱۳۹۰: ۲۱۸).

لی<sup>۱</sup> و همکاران (۲۰۱۰)، در تحقیقی در شمال چین دقت داده‌های نشت تبخیر - روش پنمن - ماننتیث و فراسنج‌های مؤثر بر تبخیر - تعرق (دمای متوسط، رطوبت نسبی، سرعت باد و ساعات آفتابی) را براساس رگرسیون چندمتغیره واسنجی، ارزیابی و پیش‌بینی کردند. آلمدیج<sup>۲</sup> (۲۰۱۲)، با استفاده از مدل رگرسیون خطی تبخیر روزانه و ماهانه در کویت را پیش‌بینی کردند. مالیک<sup>۳</sup> و همکاران (۲۰۱۳)، برای برآورد تبخیر از روش‌های شبکه عصبی مصنوعی و رگرسیون چندمتغیره خطی استفاده کردند. لدنی<sup>۴</sup> و همکاران (۲۰۱۵)، تبخیر - تعرق روزانه در منطقه مدیترانه‌ای کشور الجزایر را توسط روش‌های سیستم فازی و رگرسیون چندمتغیره خطی مدل سازی کردند. سیفی و همکاران (۱۳۸۹)، با استفاده از مدل ترکیبی رگرسیون چندگانه-تحلیل مولفه‌ها و عامل‌های اصلی به بررسی و پیش‌بینی تبخیر - تعرق در ایستگاه کرمان پرداختند.

عرب سلغار و همکاران (۱۳۹۰)، به بررسی روند با استفاده از روش کمترین مربعات خطأ و پیش‌بینی تبخیر - تعرق با استفاده از رگرسیون چندمتغیره در شماری از ایستگاه‌های مناطق نیمه‌خشک پرداختند. کرمپور و همکاران (۱۳۹۴)، در بررسی رابطه عناصر اقلیمی (دما، بارش، رطوبت، تبخیر، باد، ساعت آفتابی) با پوشش گیاهی استان هرمزگان با استفاده از رگرسیون چندگانه پرداختند. قاسمی و همکاران (۱۳۹۸)، تبخیر و تعرق مرجع در ایستگاه‌های تبریز و اربدبل را با استفاده از تحلیل مولفه‌های اصلی و رگرسیون چندگانه برآورد کردند. از دیگر محققانی که در این زمینه به مطالعه پرداختند می‌توان به کیسی<sup>۵</sup> (۲۰۰۹)، شیرگور<sup>۶</sup> (۲۰۱۱)، شیرگور و راجچوت<sup>۷</sup> (۲۰۱۲)، مالیک و کومار<sup>۸</sup> (۲۰۱۵)، عدنان<sup>۹</sup> و همکاران (۲۰۲۰)، پندای<sup>۱۰</sup> و همکاران (۲۰۲۲)، قره‌خانی و قهرمان (۱۳۸۹)، حسینی و همکاران (۱۳۹۴) اشاره کرد. یکی از راهکارهای مقابله با بحران آب، استفاده مناسب و مدیریت بهینه منابع آب است. لازمه مدیریت بهینه منابع آب تعیین دقیق مؤلفه‌های بیلان آب در هر منطقه است. تبخیر یکی از مؤلفه‌های اصلی بیلان آبی هر منطقه و همچنین یکی از عوامل کلیدی برای برنامه‌ریزی صحیح، مناسب و مناسبت آبیاری برای بهبود راندمان آب مصرفی در هر منطقه می‌باشد (گنگر<sup>۱۱</sup>، ۱۹۹۹: ۷۱). از طرف دیگر تبخیر نقش قابل ملاحظه‌ای در اقليم جهانی از طریق چرخه هیدرولوژی ایفا کرده است. عدمه ترین عامل مصرف منابع آبی در مناطق خشک و نیمه‌خشک تبخیر است که عمدتاً تحت تأثیر شرایط جوی این مناطق می‌باشد. بخش عمدۀ حوضه زاینده‌رود در مناطق خشک و نیمه‌خشک قرار دارد. طی دهه‌های اخیر حوضه زاینده‌رود با خشکسالی و کاهش سطح آب روبرو بوده است، از این‌رو آگاهی از ورادی‌ی دهه‌ای تبخیر در ارتباط با فراسنج‌های اقلیمی مؤثر برآن (دما، رطوبت نسبی و سرعت باد)، نقش موثری را در شناخت سازوکار و الگوهای زمانی - مکانی تبخیر و به تبع آن برنامه‌ریزی، توسعه و مدیریت منابع آب در این حوضه ایفا می‌کند. هر تغییری در فراسنج‌های اقلیمی ذکر شده بر میزان تبخیر تأثیر خواهد گذاشت. بدین‌منظور پژوهش حاضر تلاش دارد تغییرات این فراسنج را در حوضه زاینده‌رود و در ارتباط با سایر فراسنج‌های اقلیمی برای پنج دهه اخیر (۱۹۷۸-۱۹۶۹-۱۹۸۸، ۱۹۷۹-۱۹۸۸، ۱۹۸۹-۱۹۹۹، ۲۰۰۸-۲۰۰۹) مورد بررسی و واکاوی قرار دهد.

## ۲ معرفی منطقهٔ مورد مطالعه

زنده رود بزرگ‌ترین رودخانه فلات مرکزی ایران است که از ارتفاعات زاگرس و کوه‌های مرتفع زردکوه بختیاری سرچشمه می‌گیرد و به تدریج که وارد جلگه اصفهان می‌گردد، از شیب آن کاسته و پس از مشروب نمودن اراضی مستعد و دشت‌های کشاورزی از شهرهای آذیه و وزنه عبور نموده و وارد تالاب گاوخونی می‌گردد.

مساحت حوضه زاینده‌رود برابر با ۴۱۵۵ کیلومتر مربع است. مناطق کوهستانی و نیمه کوهستانی این حوضه در شمال غرب، غرب و بخش کوچکی از شمال شرق قرار دارد. سراب رودخانه زاینده‌رود در شمال غرب این حوضه قرار دارد. ناحیه خشک و نیمه‌خشک شرقی حوضه زاینده‌رود به صورت قوسی شمال، جنوب، شرق و جنوب شرقی حوضه آبیاری زاینده‌رود را در شهرستان اصفهان احاطه کرده است (شکل ۱، الف) و از وسیع‌ترین، خشک‌ترین و کم جمعیت‌ترین نواحی حوضه زاینده‌رود بوده، بین کوه‌های مرکزی ایران، پایکوههای شرق زاگرس در جنوب اصفهان و حوضه داخلی چاله اصفهان - سیرجان به حساب می‌آید. ناحیه‌ای که نیمی از آن را شیب کوه‌های مرکزی و نیمی دیگر را اراضی فرورفتۀ چاله گاوخونی و حواشی آن‌ها تشکیل می‌دهد و شامل اراضی رسوبی و پایکوههای خشک بدون آب جاری طبیعی است. عوامل مؤثر در ایجاد نواحی خشک و بیابانی را می‌توان به دو عامل مهم تقسیم کرد: عامل اقلیمی که به علت نبودن بارش کافی، دمای بالا و تبخیر زیاد ایجاد می‌شود. عامل دیگر ساختار اشکال ناهمواری و فرایندهای زمین‌شناختی است که سبب ایجاد یا تشدید نواحی بیابانی می‌گردد (قائمه و همکاران، ۱۳۹۱: ۳۴۷).

<sup>7</sup> Shirgure and Rajput

<sup>8</sup> Malik and Kumar

<sup>9</sup> Adnan

<sup>10</sup> Panda

<sup>11</sup> Granger

<sup>1</sup> Li

<sup>2</sup> Almedeij

<sup>3</sup> Malik

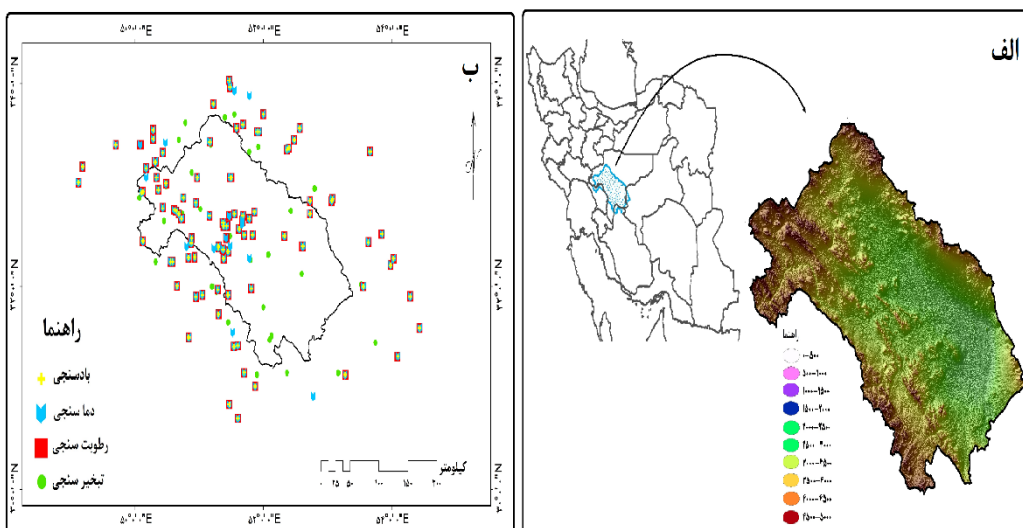
<sup>4</sup> Ladlani

<sup>5</sup> Kisi

<sup>6</sup> Shirgure

## ۳ روش تحقیق

به منظور بررسی رفتار دهه‌ای تبخیر در ارتباط با عناصر اقلیمی منتخب، اندازه‌گیری‌های تبخیر و عناصر اقلیمی مرتبط انتخاب شد. داده‌های روزانه تبخیر ۷۴ ایستگاه (ایستگاه‌های همدید و وزارت‌نیرو) به کار گرفته شد. عناصر اقلیمی مرتبط با تبخیر شامل تابش-دما، رطوبت و سرعت باد است (کاوینی و علیجانی، ۱۳۹۰). از آنجاکه مشاهدات و پوشش زمانی-مکانی مناسب از تابش در دست نبود و نیز به دلیل آن که دما می‌تواند انعکاس مناسبی از تابش باشد، تنها سه عنصر دما، رطوبت و سرعت وزش باد برای بررسی نقش عناصر اقلیمی در تبخیر استفاده شد. بدین ترتیب میانگین روزانه دما، رطوبت و باد در حوضه زاینده‌رود به ترتیب از ۱۱۰، ۹۷ و ۹۴ (سال ۱۹۶۹-۱۸۰) گردآوری شده است (شکل ۱). درمجموع ۳۷۵ ایستگاه برای پژوهش حاضر مورداستفاده قرارگرفته است که ۱۷۰ ایستگاه در داخل و ۲۰۵ ایستگاه در خارج از حوضه قرار دارد. به منظور انجام عملیات درون‌یابی (میان‌یابی) و به ویژه به دلیل کمبود ایستگاه در داخل حوضه زاینده‌رود، در سال‌های ابتدایی دوره آماری موردمطالعه، نیاز به استفاده از ایستگاه‌های خارج از محدوده ضروری بوده است. ضمن این که برای انجام عملیات درون‌یابی و تشکیل ماتریس داده‌ها نیاز به استفاده از ایستگاه‌های خارج برای پوشش کل حوضه لازم بود.



شکل ۱ - موقعیت و مشخصات ارتفاعی حوضه زاینده‌رود (الف) و ایستگاه‌های موردمطالعه (ب)

برای انجام پژوهش حاضر در ابتدا برای تشخیص ناهمگنی‌ها از آزمون همگنی کساندرسون استفاده شد. ضمن این که معنی‌داری همگنی‌ها براساس این روش استاندارد محاسبه شد و نواحی فاقد همگنی تخمین زده شد، این نواحی بر روی نقشه‌ها ردیابی گردید تا همگنی و ناهمگنی به لحاظ دیداری نیز تأیید شود. آزمون کساندرسون آزمونی با کارایی بالاست که می‌تواند به دو صورت مطلق و نسبی استفاده شود (کساندرسون ۱۹۸۶؛ کساندرسون و موبگ ۱۹۹۷؛ پندیک و لیکسو<sup>۱</sup> ۲۰۱۰؛ ویسنتمه سوانو<sup>۲</sup> و همکاران ۲۰۱۰؛ مارتینز<sup>۳</sup> و همکاران ۲۰۱۰؛ ساهین و سیزیگ اوکلو<sup>۴</sup> ۲۰۱۰). سپس با استفاده از روش میان‌یابی کریجینگ، به عنوان روشی بهینه برای میان‌یابی مشاهدات (عساکره، ۱۳۸۷)، داده‌های نقطه‌ای و ایستگاهی به داده‌های شبکه‌ای تبدیل شد. داده‌های شبکه‌ای به منظور یکسان نمودن طول دوره آماری مشاهدات در پهنه موردمطالعه و یکنواخت کردن پراکندگی ایستگاه‌ها در طول دوره موردمطالعه به کار گرفته می‌شود. درروش میان‌یابی کریجینگ برای هر یک از ایستگاه‌های درون و بیرون یک پهنه برحسب فاصله و موقعیت آن وزن آماری مشخصی در نظر گرفته می‌شود به گونه‌ای که پراش تخمین کمینه شود (عساکره، ۱۳۸۷: ۲۷). حاصل فرایند میان‌یابی مشاهدات روزانه در پهنه موردمطالعه، ماتریسی به ابعاد  $1826 \times 2591$  (سطرها شمار یاخته‌ها و ستون‌ها شمار روزهای فراسنج‌های اقلیمی را شکل می‌دهند) به دست آمد که حوضه زاینده‌رود با توان تفکیک مکانی  $4 \times 4$  کیلومتر نشان می‌دهد.

به منظور وارسی وردایی متغیرهای موردمطالعه، توزیع مکانی میانگین روزانه هریک از متغیرها برای کل دوره و نیز برای پنج دهه موردمطالعه برآورد و تحلیل شد. علاوه براین به منظور ردیابی تغییر نقش و اهمیت هریک از فراسنج‌های سه‌گانه اقلیمی موردمطالعه

<sup>4</sup> Vicente-serrano

<sup>1</sup> Alexandersson

<sup>5</sup> Martínez

<sup>2</sup> Alexandersson and Moberg

<sup>6</sup> Sahin and Cigizoglu

<sup>3</sup> Pandzic and Likso

(رطوبت، باد و دما) بر وردایی دهه‌ای تبخیر، از رگرسیون استاندارد چندمتغیره استفاده شد. هدف، از مدل‌سازی رگرسیون در مطالعه حاضر ردیابی تأثیر هریک از فراسنجهای سه‌گانهٔ اقلیمی بر تبخیر و تغییرات دهه‌ای آن‌ها است که در یک مدل رگرسیون چند متغیره از طریق ضرایب رگرسیون قابل برآورده است. اما واحد اندازه‌گیری تبخیر بر حسب میلی‌متر، دما بر حسب درجه سلسیوس، رطوبت نسبی بر حسب درصد و باد بر حسب متر بر ثانیه است. از آن‌جا که یکاهای اندازه‌گیری برای هر متغیر متفاوت است، نمی‌توان قضاوت کرد، سهم کدام متغیر بر تغییرات تبخیر بیشتر است. برای محاسبه اهمیت نسبی هریک از ضرایب، به ضرایب رگرسیون قادر واحد نیاز است. برای این منظور می‌باشد از ضرایب رگرسیون استاندارد استفاده کرد (عساکره، ۱۳۹۰: ۲۵۳). بدین ترتیب ابتدا هریک از متغیرها نسبت به میانگین و انحراف معیارشان به شرح زیر استاندارد می‌شوند:

$$z_{ij} = \frac{x_{ij} - \bar{x}_j}{s_j}$$

سپس الگوی رگرسیونی زیر برای  $k$  متغیر مستقل و به منظور توجیه تغییرات مکانی تبخیر ( $E_i$ ) به کار گرفته شد:

$$E_i = \sum_{i=1}^k b_i z_i + e_i$$

بدین ترتیب ضرایب رگرسیون ( $b_i$ ) به عنوان اثرات نسبی هریک از متغیرها تعبیر می‌شود. در پژوهش حاضر، برآورد ضرایب رگرسیون چندمتغیره بر اساس روش کمینهٔ مربعات خطأ (LSE) برآورده شده است. معنی‌دار بودن هریک از ضرایب براساس فرض صفر ( $H_0: \beta = 0$ ) به صورت زیر آزمون شد.

$$t = \frac{b}{SE(b)}$$

در اینجا  $SE(b)$  انحراف استاندارد  $b$  به صورت زیر حساب می‌شود:

$$SE(b) = \sqrt{\frac{\sum_{t=1}^n (y_t - a - b)^2}{(n-2) \sum_{j=1}^n (t_j - t)^2}} = \sqrt{\frac{12 \sum_{i=1}^n (y_i - a - b)^2}{(n-2)n(n^2-1)}}$$

در اینجا باید به این نکته اشاره کرد که مقادیر بین صفر و  $\pm 0.5$  معنادار و بالاتر از آن غیر معنادار است. این محاسبات برای کل دوره آماری و نیز برای هریک از دهه‌های مورد بررسی به طور جداگانه انجام شد. همچنین برای ارزیابی مدل از میانگین مربعات خطأ (RMSE) و ضریب تعیین (R square) استفاده شد.

$$RMSE = \sqrt{\frac{1}{N} \sum_{i=1}^n (q_i - o_i)^2}$$

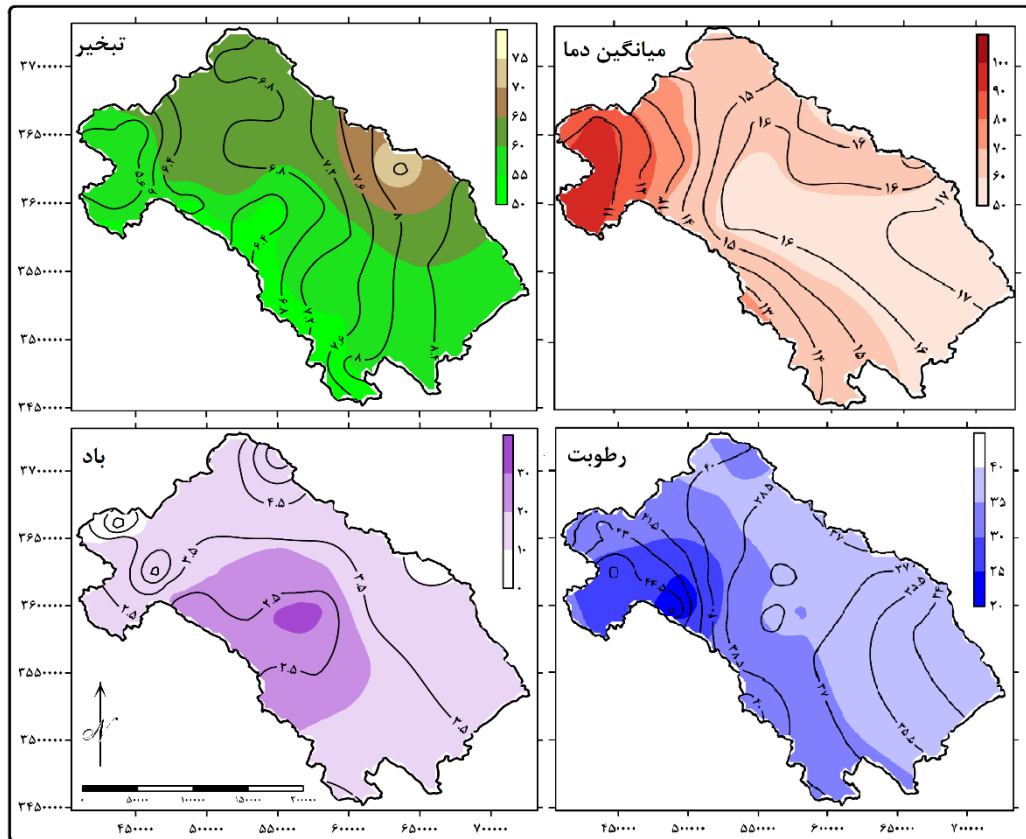
$$R^2 = \frac{\sum (q_i - \bar{q}_i)(\bar{Q}_i - \bar{Q})}{\sqrt{\sum (q_i - \bar{q}_i)^2 (\bar{Q}_i - \bar{Q})^2}}$$

## ۴ یافته‌ها و بحث

### ۱، ویژگی‌های عمومی

عامل ارتفاع در مقدار بارش و سایر فراسنجهای اقلیمی نهفته است، چون میزان فراسنجهای با ارتفاع تغییر می‌کند، در عملیات میان‌یابی با تغییر این فراسنجهای تغییر ارتفاع نیز معکوس شده است. در حوضه آبریز زاینده‌رود، با افزایش ارتفاع، کاهش دما و درنتیجه کاهش تبخیر و تعرق سالانه قابل مشاهده است. با کاهش ارتفاع از شمال غرب به جنوب شرق، عناصر اقلیمی مانند حرارت و تبخیر رو به فزونی و برخی دیگر مانند رطوبت و بارش رو به کاهش می‌رود و اقلیم سرد و مرطوب به تدریج جای خود را به اقلیم گرم و خشک می‌دهد (شکل ۲). اثر ارتفاع بر فراسنجهای اقلیمی بسیار چشمگیر است (غیور و مسعودیان، ۱۳۷۵: علیجانی، ۱۳۹۰: قائمی و

همکاران، ۱۳۹۱: عساکره و سیفی پور، ۱۳۹۱: عساکره و همکاران، ۱۴۰۰). کوه‌ها می‌توانند سدی برای جریان هوای مرطوب از یک چشمۀ رطوبتی نظیر اقیانوس‌ها باشند و یا توفان‌های زمستانه را تضعیف کنند. معمولی‌ترین این دلایل آن است که قسمتی از هوا بر روی کوه‌ها شارش می‌یابد و در فرایند بارش، بر روی شبکه کوهستان، رطوبت کاهش پیدا می‌کند. به عبارتی سیمای زمین‌های مرتفع بزرگ مقیاس، رطوبت را از هوایی که از فراز آن‌ها می‌گذرد، می‌گیرد و از طرف دیگر هوای خشک و گرم شده از طریق نزول پی درو ممکن است در ایجاد بیابان‌ها در سمت بادپناه کوه سهیم باشد (قائمی و همکاران، ۱۳۹۱: ۱۰۶-۱۰۷).



شکل ۲ - میانگین (خطوط هم‌چند) و ضریب تغییرات (پس‌زمینه) سالانه فراسنج‌های موردمطالعه

قلّه‌های کوهستانی حوضه زاینده‌رود به علت ارتفاع زیادی که دارند تقریباً در نیمی از سال پوشیده از برف بوده و درنتیجه آلبدوی بالای برف، تبخیر و تعرق در آن کمتر صورت می‌گیرد. همان‌طور که در شکل (۲) مشخص است، پایین‌ترین میانگین دما در شمال غرب حوضه و نواحی کوهستانی مشاهده می‌شود و میزان دما در جنوب شرق محدوده ببیشینه می‌شود. در نقشه میانگین تبخیر نیز کمتر دما کم‌ترین میزان در شمال غرب و بیشترین مقدار در جنوب شرق حوضه دیده می‌شود؛ بنابراین نواحی توام با دمای کمتر، تبخیر کمتر و بالعکس را شاهد هستیم که از همبستگی بالای (۰/۹) این دو فراسنج نیز قابل استنباط است (جدول ۱). این رابطه در مورد رطوبت برعکس است (جدول ۱، شکل ۲)؛ یعنی بالاترین مقدار رطوبت نسبی در شمال‌غربی محدوده موردمطالعه مشاهده می‌شود؛ به سمت جنوب شرق محدوده از میزان رطوبت کاسته می‌شود. بعد از دما، عنصر رطوبت بالاترین میزان همبستگی با فراسنج تبخیر را دارد (۰/۷۹). بلافضله پس از تبخیر، لایه نازک هوایی که در حدفاصل سطح مرطوب و جو قرارگرفته است از بخارآب اشباع می‌شود. اگر این لایه در جای خود ساکن باقی بماند عمل تبخیر متوقف می‌شود (علیزاده، ۱۳۹۰: ۲۲۴). بدین دلیل باد می‌تواند نقش مؤثری در فرایند تبخیر ایفا کند. رابطه سرعت باد و تبخیر نسبت به فراسنج‌های دیگر کمتر ولی مستقیم است (جدول ۱). در نیمه غربی محدوده مطالعاتی مقدار آن کمتر و در نیمه‌های شرقی حوضه بر سرعت آن افزوده می‌شود. به عبارتی در مناطقی که سرعت باد کمتر است، تبخیر نیز کمتر و در مناطق توام با سرعت بیشتر باد، تبخیر نیز بیشتر رخداده است (شکل ۲).

## جدول ۱ - ماتریس همبستگی تبخیر با فراسنچ‌های مورد مطالعه

سرعت باد	رطوبت	دما	تبخير	
٠/٦	-٠/٧٩	٠/٩٦	١	تبخير
٠/١٤	-٠/٨	١	-	دما
٠/١١-	١	-	-	رطوبت
١	-	-	-	سرعت باد

٤,٢ تبخير مکانی روابط آماری الگوی

با برازش الگوی رگرسیون چند متغیره استاندارد، ضرایب هریک از متغیرهای توضیحی برای هر پیکسل در نقشه برآورد گردید. توزیع مکانی این ضرایب در شکل (۳) ارائه شده است. تقریباً در غالب موارد ضرایب رگرسیون (نقش متغیرهای توضیحی: عناصر سه گانه اقلیمی) به لحاظ آماری معنی دار بوده است. در مواردی که این نقش‌ها فاقد معنی آماری بوده‌اند، پس زمینه نقشه در آن محل به رنگ تیره ارائه شده است.

بر اساس مدل رگرسیون چندمتغیره استاندارد، حدود ۸۰ درصد تغییرات مکانی فرایند تبخیر با این مدل توجیه شده است (جدول ۲). براساس این مدل اهمیت دما بیش از دو متغیر دیگر است و نقش بیشتری در فرایند تبخیر دارد و بالعکس باد سهم کمتری دارد. نقش رطوبت نسبی در فرایند تبخیر در جایگاه دوم اهمیت قرار دارد و بعد از دما نقش بیشتری در فرایند تبخیر ایفا می‌کند. همان‌گونه که مشخص است نقش دما در تبخیر در اکثر بخش‌های حوضه، ۹۵٪ است. فقط در بخش کوچکی از غرب حوضه موردمطالعه بین ۶٪ تا ۸۵٪ است. کمترین رابطه معکوس بین تبخیر و رطوبت نسبی در نیمه‌شمال حوضه و در بخش‌های کوهستانی آن مشاهده می‌شود. به سمت نیمه جنوبی و ناحیه خشک حوضه، به میزان این رابطه افزوده می‌شود.

همان‌گونه که در شکل ۳ مشخص است در بخش‌های مرکزی و جنوبی حوضه موردمطالعه رابطه باد و تبخیر مستقیم و معنی‌دار است. در بخش‌های شمال‌غرب حوضه رابطه معکوس و معنی‌دار است. شاید بتوان دلیل رابطه مستقیم و مثبت بین باد و تبخیر در بخش‌های شمال‌غرب حوضه زاینده‌رود را به وجود نواحی کوهستانی تأم با رطوبت بالا و دمای کم نسبت داد که در آن‌ها باد همیشه حامل رطوبت و دمای کم (و در نتیجه افزایش رطوبت نسبی) است. همچنین این نواحی در معرض ورود هوای مرطوب به‌وسیله بادهای غربی می‌باشند؛ بنابراین می‌توان گفت رطوبتی که توسط این بادها وارد محدوده موردمطالعه می‌شود بیشتر از رطوبت خروجی به‌وسیله باد است.

#### ۴.۳ وردایی دهه‌ای نقش عناصر اقلیمی در فرایند تبخر

مدل های رگرسیونی برای تبیخیر-متغیرهای اقلیمی هریک از دهه ها برازش یافت. به منظور ارزیابی مدل ها نمایه های مجدول میانگین مربعات خطأ (RMSE) و ضریب تعیین (R square) به کار گرفته شد. نتایج در جدول ۲ ارائه شده است. ضریب تعیین، معیاری برای تعیین میزان هماهنگی مدل رگرسیون با مشاهدات است. همان گونه که در جدول (۲) مشخص است ضریب تعیین در طی دوره های مختلف از حدود ۷۵/۰ در تغییر است. مقدار مجدول میانگین مربعات خطأ نیز از ۳۷/۰ تا ۴۹/۰ در دوره های مختلف در نوسان بوده است. بیشترین میزان ضریب تشخیص و کمترین مقدار مجدول میانگین مربعات خطأ در دهه سوم به ترتیب با ۸۹/۰ و ۳۲/۰ و کمترین میزان ضریب تشخیص و بیشترین مقدار مجدول میانگین مربعات خطأ در دهه اول به ترتیب با ۷۵/۰ و ۴۹/۰ بوده است.

ضرایب رگرسیونی چندمتغیره تبیخیر بر اساس فراسنج‌های دما، رطوبت و سرعت باد برای هر یک از دهه‌ها در شکل (۴) ارائه شده است. در بخش‌هایی که ضریب رگرسیونی  $b$  فاقد معنی آماری بوده و فرض صفر ( $H_0: \beta = 0$ ) تأیید می‌شده، پس زمینه نقشه با

4 Malik and Kumar

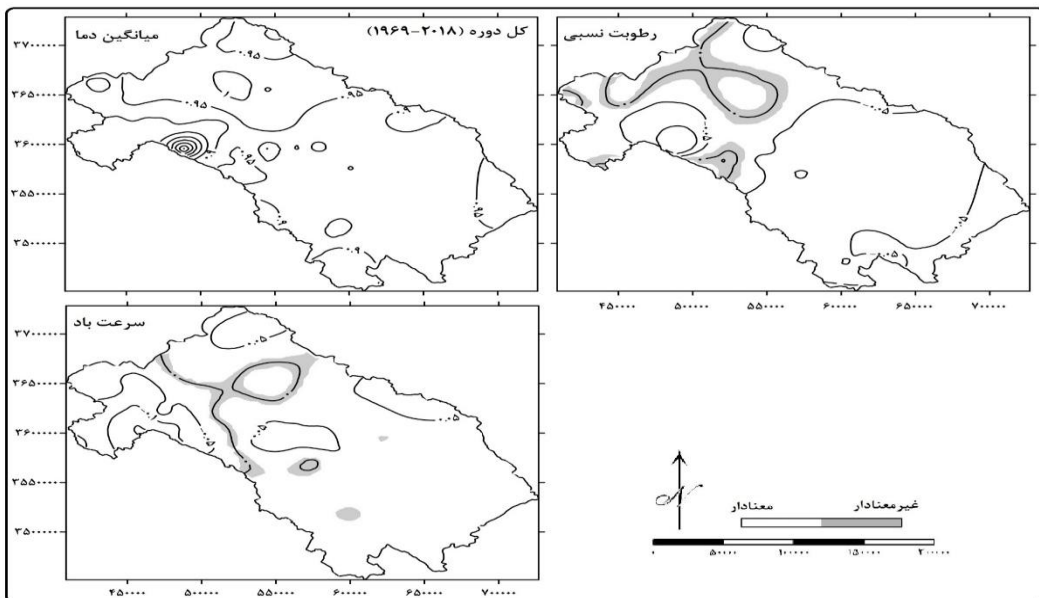
5 Patle

1 Shirsath and kumar

2 Almedeij

3 Ladlani

رنگ تیره مشخص شده است. در بیشتر بخش‌های حوضه در سطح ۹۵ درصد اطمینان فرض صفر برای ضرایب ( $H_0 : \beta = 0$ ) رد شده و با رنگ سفید مشخص شده است.



شکل ۳- توزیع مکانی ضرایب رگرسیون چندمتغیره استاندارد تبخیر - سایر فراسنج‌های اقلیمی مرتبط

در دهه اول و دوم، نقش دما در فرایند تبخیر، نسبت به کل دوره افزایش یافته است. سهم دما در اکثر نقاط حوضه بین ۱/۱ تا ۱/۱ بوده است. آزمون معنی‌داری برای این دهه نیز نشان دهنده رد شدن فرض صفر و معنی‌داری ضریب در سطح ۹۵ درصد اطمینان می‌باشد. در دهه سوم نسبت به کل دوره، نقش دما در فرایند تبخیر تغییری نکرده است؛ ولی در دهه‌های چهارم و پنجم نقش دما در تبخیر کمتر شده و به ۰/۹ میلی‌متر کاهش یافته است. این مقدار در دهه آخر به ۰/۸ میلی‌متر نیز می‌رسد. بیشترین و کمترین نقش این متغیر به ترتیب در دهه اول و پنجم بوده است؛ بنابراین نقش دما در دهه‌های ابتدایی در مقدار میانگین دهه‌ای تبخیر بیشتر از دهه‌های انتهایی می‌باشد.

جدول ۲- نتایج ارزیابی مدل برای کل دوره و به تفکیک برای هر دهه

معیار	R square	RMSE
کل دوره (۱۹۶۹-۲۰۱۸)	۰/۸	۰/۴۴
دهه اول (۱۹۷۹-۱۹۷۸)	۰/۷۵	۰/۴۹
دهه دوم (۱۹۷۹-۱۹۸۸)	۰/۸۴	۰/۳۹
دهه سوم (۱۹۸۹-۱۹۹۸)	۰/۸۹	۰/۳۲
دهه چهارم (۱۹۹۹-۲۰۰۸)	۰/۸	۰/۴۴
دهه پنجم (۲۰۰۹-۲۰۱۸)	۰/۷۹	۰/۴۴

نقش رطوبت نسبی در فرایند تبخیر طی سه دهه ابتدایی نسبت به کل دوره تغییری نکرده است ولی در دو دوره انتهایی این میزان کمی بیشتر شده است. به عبارتی در دوره‌های ابتدایی این مقدار ۰/۰۵ بوده ولی در دوره انتهایی ۰/۰ شده است؛ بنابراین کمترین نقش رطوبت در فرایند تبخیر در سه دوره اول و بیشترین نقش آن در دوره پنجم می‌باشد. در دو دوره اول در بخش‌های شمال‌غربی حوضه رابطه رطوبت و تبخیر مثبت و مستقیم بوده که در سه دوره بعدی این رابطه منفی و معکوس می‌باشد. احتمالاً همنوا با نمود رخداد گرمایش جهانی و افزایش دما، گنجایش هوا برای دریافت رطوبت بیشتر شده است. بدین دلیل بخشی از نقش دما در تکوین فرایند تبخیر به رطوبت منتقل شده است. (شکل ۴). شایان یادآوری است که نقش گرمایش جهانی و تغییرات آب و هوایی در فرایند تبخیر در مطالعات پژوهشی تأیید شده است. از این میانه می‌توان به هو<sup>۱</sup> و همکاران (۲۰۰۹)، هارمسن<sup>۲</sup> و همکاران (۲۰۱۳)، باغیس<sup>۳</sup> و همکاران

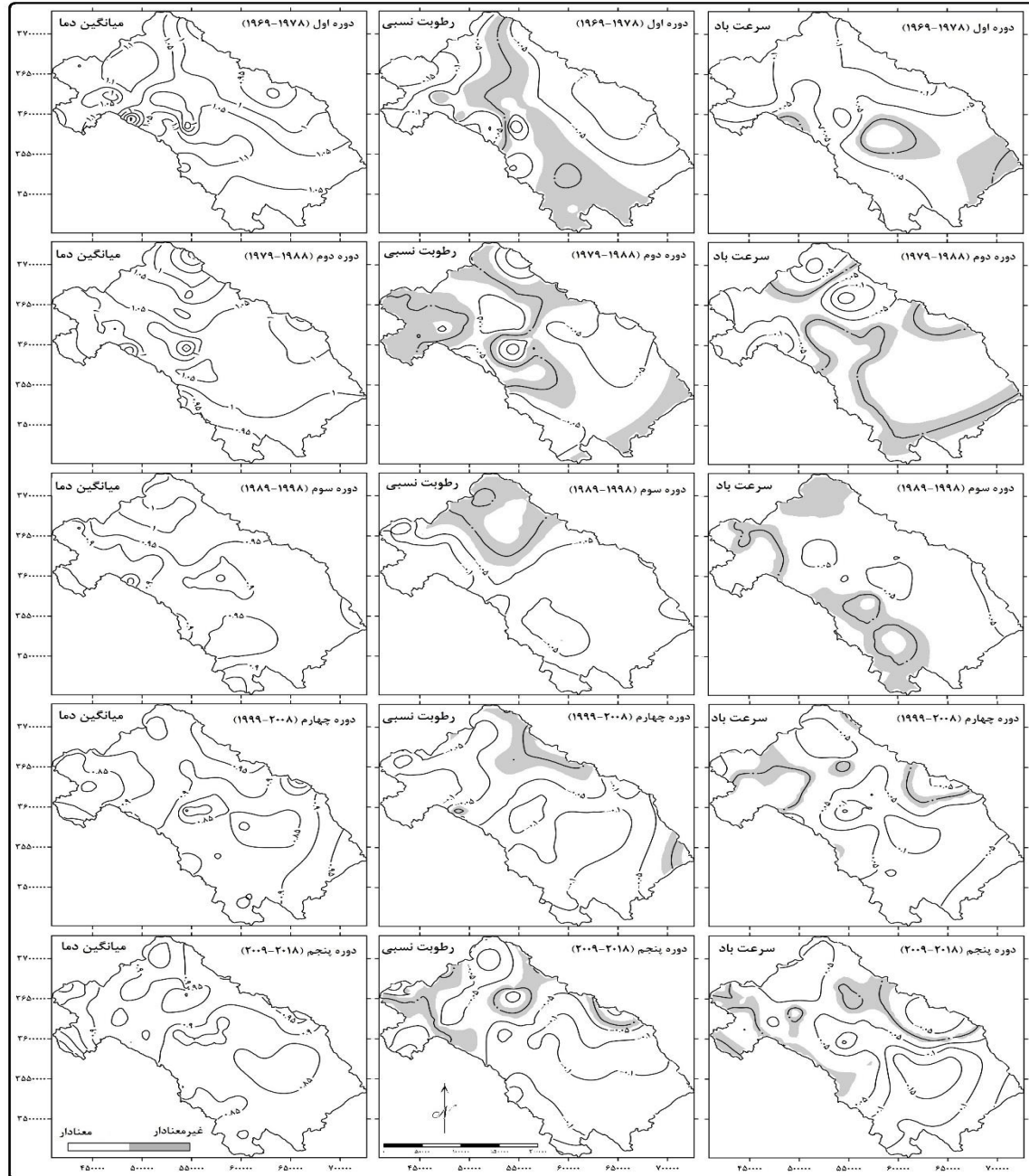
<sup>۳</sup> Baguis

<sup>۱</sup> Huo

<sup>۲</sup> Harmsen

(۱۰)، بندياپدhai<sup>۱</sup> و همكاران (۲۰۰۹)، گاريچت<sup>۲</sup> و همكاران (۲۰۰۴)، دانگشنگ<sup>۳</sup> و همكاران (۲۰۰۷)، زو<sup>۴</sup> و همكاران (۲۰۰۶) طبri و همكاران (۱۱)، سبزيپرور و همكاران (۱۳۹۰)، ملکىنژاد و پورمحمدی (۱۳۹۲) اشاره کرد.

در مورد فراسنج باد نيز در سه دهه ابتدائي نقش آن نسبت به كل دوره تغيير نكرده است، ولی در دو دهه پايانی نقش آن بيشتر شده است؛ يعني در دوره‌های ابتدائي اين مقدار ۰/۵ و در دهه پايانی اين مقدار به ۱/۰ رسيده است. به عبارتی ديگر می‌توان گفت كمترین ميزان نقش باد در فرائيند تبخير در دوم و بيشرترين نقش آن در دهه پنجم می‌باشد.



شكل ۴- توزيع مکانی ضایعات رگرسیون چندمتغیره استاندارد تبخیر - سایر فراسنج‌های اقلیمی مرتبط

<sup>3</sup> Dongsheng  
<sup>4</sup> Xu

<sup>1</sup> Bandyopadhyay  
<sup>2</sup> Garbrecht

## ۵ نتیجه‌گیری

در پژوهش حاضر تلاش گردید با استفاده از رگرسیون چندمتغیره، ارتباط بین این فراسنچها و فراسنچ تبخیر در بازه زمانی ۱۹۶۹-۲۰۱۸ و اکاوی و مهمترین فراسنچ مؤثر بر تبخیر در محدوده موردمطالعه مشخص شود. سپس به تغییرات دهه‌ای ارتباط این سه متغیر با تبخیر پرداخته شد. بدین‌جهت از داده‌های روزانه تبخیر ( $\text{mm}$ )، دما ( $^{\circ}\text{C}$ )، رطوبت نسبی (%) و باد ( $\text{m/s}$ ) ایستگاه‌های همدید، اقلیم‌شناسی و وزارت نیرو (طی ۵ سال) استفاده شد.

بر اساس مشخصات عمومی انجام‌شده در این حوضه مشخص شد که میزان دما و باد در بخش‌های انتهایی حوضه بیشتر از بخش‌های شمالی آن است به همین نسبت میزان تبخیر در نیمه شمالی کمتر و در نیمه جنوبی بیشتر است و بالعکس مقدار رطوبت در بخش‌های شمالی محدوده موردمطالعه بیشتر از بخش‌های جنوبی آن است. همچنین نتایج نشان می‌دهد که موثرترین فراسنچ در ارتباط با تبخیر فراسنچ دما است که این ارتباط در سطح ۹۵ درصد اطمینان در کل حوضه معنی‌دار بود. رطوبت سهم دوم و باد آخرين رده را در فرایند تبخیر دارا است.

مطالعاتی که در مناطق اقلیمی دیگر نیز انجام‌شده نتایج این پژوهش را تأیید می‌کنند. عرب سلغار و همکاران (۱۳۹۰)، به مطالعه ضرایب تابع رگرسیونی چهارمتغیره بین تبخیر و دمای کمینه و رطوبت نسبی در برخی از ایستگاه‌های مناطق نیمه‌خشک پرداختند؛ و به این نتیجه رسیدند بین فراسنچ‌های اقلیمی میانگین دما موثرترین فراسنچ مؤثر بر تبخیر است. احمدی مرادی و همکاران (۱۳۹۸)، به تحلیل رگرسیونی تبخیر - تعرق مرجع با استفاده از متغیرهای اقلیمی بیشینه و کمینه دما، بیشینه و کمینه رطوبت نسبی، ساعت آفتابی و سرعت باد در ایستگاه الشتر پرداختند. ایشان به این نتیجه رسیدند که همهٔ متغیرها دارای رابطه خطی با تبخیر و تعرق مرجع بوده و ضرایب مدل حاکی از بیشترین تأثیر متغیر بیشینه درجه حرارت بر تبخیر و تعرق مرجع است. قاسمی و همکاران (۱۳۹۸)، با استفاده از فراسنچ‌های دما، رطوبت نسبی، ساعت آفتابی، بارش و سرعت باد با استفاده از تحلیل مولفه‌های مبنا و رگرسیون چندمتغیره برای ایستگاه‌های تبریز و اردبیل به این نتیجه رسیدند که بیش‌ترین همبستگی بین دما و تبخیر و کمترین همبستگی بین باد و تبخیر بوده است. گودرزی و همکاران (۱۳۹۷)، به برآورد میزان تبخیر و تعرق در ارتباط با تغییرات اقلیمی در حوضه دریاچه ارومیه پرداختند و به این نتیجه رسیدند که در دوره‌های آتی در تمامی ماه‌ها و فصول تبخیر تحت تاثیر تغییرات دما افزایش پیدا می‌کند.

همچنین یافته‌های پژوهش نشان داد نقش دما از دهه نخست به دهه انتهایی رو به کاهش و بالعکس سهم رطوبت و باد رو به افزایش است. در این مدل، نزدیک بودن مقدار ضریب تعیین به یک و خطای نزدیک به صفر در کل دوره و در هر ۵ دهه، نشان می‌دهد که مدل رگرسیون چندمتغیره توانایی مناسبی در این زمینه دارد.

## References

- Asakereh, H and seifipour, Z. 2012. Spatial modeling of annual precipitation in Iran. 29:6-9. [In Persian]
- Asakereh, H., Masoudian, S.A and Tarkarani, F. 2021. A Discrimination of Roles of Internal and External Factors on the Decadal Variation of Annual Precipitation in Iran over Recent Four Decades (1975-2016). Physical geography research quarterly. 53: 91-107. [In Persian]
- Asakereh, H. 2008. Kriging Application in Climatic Element Interpolation A Case Study: Iran Precipitation in 1996.12.16. geography and development. 12: 25-42. [In Persian]
- Asakereh, H., 2011. Basics of statistical climatology. Zanjan university publication. PP 545. [In Persian]
- Asadi, Mehdi and Karami, Mokhtar. 2020. Evaluation of Evapotranspiration Using Satellite Images and SEBAL Algorithm (Case Study: Eastern Azerbaijan Province). Ecohydrology. 1: 17-27. [In Persian]
- Ahmadi Moradi, M., Heidari Motlagh, A., Nasrolahi, A. H and Saeedi, M. 2019. Regression analysis of reference evapotranspiration using climatic variables in Al-Shatar weather conditions. Engineering, Natural Resources and Environment, Tehran. [In Persian]
- Alizadeh, A. 2011. The principles of applied hydrology. Emam reza university publication. Pp 911. [In Persian]

- Alizadeh, A., Sayari, N., Hesami Kermani, M.R. Banayan, M and Hosseini Ali, F. 2010. Investigating the potential effects of climate change on agricultural water sources and uses (case study: Kashf-Roud River catchment). *Water and soil*, 24: 815:835. [In Persian]
- Alijani, B. 2011. Climatology of Iran. Samt publication.PP 230. [In Persian]
- Arab slghar, A. A., Dehghan, H., sedghi, H and Naderianfar, M. 2011. Prediction of annual evapotranspiration using meteorological data in a number of stations in semi-arid regions of Iran. *Water resources engineering*. 8: 21-30. [In Persian]
- Almedeij, J. 2012. Modeling pan evaporation for Kuwait by multiple linear regression. *The Scientific World Journal*, 9: 10-11.
- Adnan, R.M., Liang, Z., Heddam, S., Zounemat-Kermani, M., Kisi, O., Li, B. 2020. Least square support vector machine and multivariate adaptive regression splines for stremflow prediction in mountaionous basin using hydro- meteorological data as inputs. *Hydrology*. 586: 124371.
- Alexandersson, H and Moberg, A .1997. Homogenization of Swedish temperature data. Part I: homogeneity test for linear trends. *Journal of Climatology*. 24: 643–662.
- Alexandersson, H.1986. A homogeneity test applied to precipitation data. *Journal of Climatol*. 6: 661–675.
- Babaeian. I., Kouhi. M. 2012. Agroclimatic Indices Assessment over Some Selected Weather Stations of Khorasan Razavi Province Under Climate Change Scenarios. 26: 953- 967. [In Persian]
- Barkganpour, S., Ghorbani, kh., Salarijazi, M and Rezaeighale, L. 2021. *Climate Research*. 46: 57-72. [In Persian]
- Baguis, P., Roulin, E., Willems, P and Ntegeka, V. 2010. Climate change scenarios for precipitation and potential evapotranspiration over central Belgium. *Theoretical and Applied Climatology*. 99: 273-286.
- Bandyopadhyay, A., Bhadra, A., Raghuwanshi, N.S and Singh R. 2009. Temporal trends in estimates of reference evapotranspiration over India. *Journal of Hydrologic Engineering*. 14:508-515.
- Dongsheng, Z., Zheng, D., Shaohong, W and Zhengfang, W. 2007. Climate changes in northeastern china during last four decades. *Chinese Geographical Sciences*. 17:317-324.
- Dehghanianj, H., Yamamoto, T. and Rasiah, V. 2004. Assessment of evapotranspiration estimation models for use in semi-arid environments. *Agric. Water, Manage*. 64: 91-106.
- Farokhzadeh, B., Chobeh., S and Bazrafshan, O. 2020. Evaluating the effects of climate change on standardized precipitation-evaporation and transpiration index (case study: Lethian watershed). *Rainwater catchment system*. 26: 59-72. [In Persian]
- Ghayoor, H.A and Masoudian, S.A. 1996. Investigating the system of total annual precipitation changes in Iran. *Nivar*. 29: 27-60. [In Persian]
- Ghareh khani, A., ghahreman, N. 2010. Seasonal and Annual Trend of Relative Humidity and Dew Point Temperature in Several Climatic Regions of Iran, *water and soil*. 4: 636-646. [In Persian]
- Ghasemi A. R. Timori, M and Timori, F. 2019. Estimating reference evaporation and transpiration of Tabriz and Ardabil stations using principal component analysis method. *Geographic space*. 65: 215-232. [In Persian]
- Gharehloo, R and Ghasemifar, E., 2019. Spatial variability of evapotranspiration regards to extreme temperatures using remote sensing data in Iran. 23: 193-212. [In Persian]
- Ghaemi, H., Zarin, A and Khoshakhlagh, F. 2012. Climatology of arid regions. Samt publication. pp 419. [In Persian]

- Goudarzi, M., salahi, B and Hsseini, S.A. 2018. Estimation of Evapotranspiration rate due to climate change in the Urmia Lake basin. *Watershed mansgement science*. 41: 1-12. [In Persian]
- Guo, X., Gong, X., Shi, J., Guo, J., Dominguez-Villar, D., Lin, Y., Wang, H and Yuan, D. 2021. Temporal variations and evaporation control effect of the stable isotope composition of precipitation in the subtropical monsoon climate region, Southwest China. *Hydrology*. 599: 126278.
- Granger, R. J. 1999. Satellite-derived estimation of evapotranspiration in Gedis basin. *Journal of Hydrology*. 229: 70-76.
- Guo, B., Zhang, J., Gong, H and Cheng, X. 2014. Future climate change impacts on the ecohydrology of Guishui River Basin China, *Ecohydrology and Hydrobiology*. 1: 55-67.
- Garbrecht, J and Van Liew, M. 2004. Trends in precipitation, streamflow, and evapotranspiration in the Great Plains of the United States. *Journal of Hydrological Engineering*. 9:360-367.
- Huo, Z., Xiaoqin, D., Shaoyuan, F., Shaozhong, K and Guanhua, H .2013. Effect of climate change on reference evapotranspiration and aridity index in arid region of China. *Journal of Hydrology*. 492: 24-34.
- Harmsen, E., Miller, N., Schlegel, N. and Gonzalez, JE. 2009. Seasonal climate change impacts on evapotranspiration, precipitation deficite and crop yield in Puerto Rico. *Agricultural Water Management* 96:1085-1095.
- Hosseini. M. R., khalet abadi farahani. A. H. 2017. Evaluation and sensitivity analysis of different methods of daily reference evaporation and transpiration estimation in a cold dry climate. *Applied science research*. 2: 29-40. [In Persian]
- Jafari, M and Dinpapasho. 2017. Evaluation of Multiple Ridge Regression Model to Estimation of Pan Evaporation. *Irrigation sciences and endineering*. 40: 83-97. [In Persian]
- IPCC (Intergovernmental Panel on Climate Change), 2007, Climate Change (2007), “The Physical Science Basis, A Contribution of Working Groups. I, to the Forth Assessment Report of the Intergovernmental Panel on Climate Change, Solomon and the Core Writing Team (eds)”. Cambridge University press. Cambridge United Kingdom, and New York, USA.
- Ito, Y and Momii, K. 2021. Potential of climate changes on evaporation from a temperate deep lake. *Joynral of hydrology*. 35: 100816
- Kisi, O. 2009. Modeling monthly evaporation using two different neural computing techniques. *Irrigation Science*. 27:417–430.
- Kavyani, M. R. and Alijani, B. 2011. The foundations of climatology. Samt publication. pp 582. [In Persian]
- Kochakzadeh, M and Nikbakht, J. 2004. Comparison of different methods of reference evapotranspiration estimation in different climates of Iran with the standard FAO-Penman-Monteith method. *Agriculture science*. 3: 43-57. [In Persian]
- Kouhi, M., Sanaei Nejad, H and Amini, M. 2017. The effect of the different ET<sub>0</sub> estimation methods on reconnaissance drought index (RDI) calculation in several climatic zones of Iran. *Climate research*. 25-26: 47-66. [In Persian]
- Karampoor, M., Yousefi, A., Koohpaye. N. 2015. Relationship between climatic elements with vegetation cover of meadows the Hormozgan province (A case study: *Gymnocarpus decander*). *Natural ecosystems of Iran*. 21: 41-48. [In Persian]
- Khosravin. M., entezari. A. R., Baaghideh. M and Zandi. R. 2020. Modeling the link between drought, number of rainy days and evaporation and transpiration in Fars province. *Environmental research and technology*. 7: 1-15. [In Persian]

- Liang, L., Lijuan L and Qiang, L. 2010. Temporal variation of reference evapotranspiration during 1961-2005 in the Taoer river basin of Northeast China. Agricultural and Forest Meteorology. 150: 298-306.
- Li, Y.F., Min, X and Thong, N.G. 2010. Adaptive ridge regression system for software cost estimating on multi-collinear datasets. The Journal of System and Software, 83: 2332-2343.
- Ladlani, I., Hauichi, L., Dhemili, L., Heddem, S and Blouze, Kh. 2012. Estimation of daily reference evapotranspiration in the north of Algeria using adaptive neuro-Fuzzy inference system (ANFIS) and multiple linear regression Models: a comparative study. Arabian Journal for Science and Engineering, 39: 5959-5969.
- Mesquita, J.B.D.F., Lima Neto, I.E., Raabe, A and deAraujo, J.C. 2020. The influence of hydroclimatic conditions and water quality on evaporation rates of a tropical lake. 590: 125456.
- Mutiga, J., Su, Zh and Woldai, T. 2010. Using satellite remote sensing to assess evapotranspiration: Case study of the upper Ewaso Ng'iro North Basin, Kenya. International Journal of Applied Earth Observation and Geoinformation 12S (2010) S100–S108.
- Mallik, A.P., Jyothy, S.A and Sekhar Reddy, K. C. 2013. Daily reference evapotranspiration estimation using linear regression and Ann models. The Institution of Engineers (India). 4:215–221.
- Malik, A and Kumar, A. 2015. Pan evaporation simulation based on daily meteorological data using soft computing techniques and multiple linear regression. Water Resources Management. 29: 1859-1872.
- Martinez, M. D., Serra, C., Burgueño A and Lana, X. 2010. Time trends of daily maximum and minimum temperatures in Catalonia (ne Spain) for the period 1975–2004. Journal of Climatol. 30: 267–290.
- Malekinejad, H and pourmohamadi, S. 2012. Developing and performance assessment of a regression equation for estimating reference crop evapotranspiration based on FAO Penman -Moneteith in central Iran. 20: 495-507. Pasture and desert research of Iran. [In Persian]
- Mosavi Baigi, M., Ashraf, B and Mianabadi, A. 2010. The assessment of four reference crop evapotranspiration models in a semi-arid climate of Iran to find the best radiation model. Water and soil conservation. 17:85-105. [In Persian]
- Nourani, V., Sayyah-fard, M., Taghi Alami, M and Sharghi, E. 2020. Data pre-processing effect on ANN-based prediction intervals construction of evaporation process at different climate regions in Iran. Journal of Hydrology. 588: 125078.
- Pandzic, K and Likso, T. 2010. Homogeneity of average annual air temperature time series for Croatia. Journal of Climatology. 30: 1215–1225.
- Panda, K.C., Singh, R.M., Thakural, L.N and Sahoo, D.P., 2022. Representative grid location – multivariate adaptive regression spline (RGL-MARS) algorithm for downscaling dry and wet season rainfall. Hydrology. 605: 127381.
- Paul, G., Gowda, P. H., Vara Prasad, P. V., Howell, T. A., Staggenborg, S. A and Neale, C. M. U. 2013. Lysimetric evaluation of SEBAL using high resolution airborne imagery from BEAREX08. Advances in Water Resources. 59:157-168.
- Patle, G. T., Chettri, M and Jhajharia, D. 2020. Monthly pan evaporation modelling using multiple linear regression and artificial neural network techniques. Water supply. 3: 800-808.
- Rodrigues, I.S. Costa, C.A.G., Lima Neto, I.E and Hopkinson, C. 2021. Trends of evaporation in Brazilian tropical reservoirs using remote sensing. Hydrology. 598: 126476.

- Sahin, S and Cigizoglu, H. K. 2010. Homogeneity analysis of Turkish meteorological data set. *Hydrology Processes*. 24: 981–992.
- Sawano, Sh., Hotta, N., Komatsu, H., Suzuki, M and Yayama, T. 2007. Forest Environments in the Mekong River Basin.Evaluation of Evapotranspiration in Forested Areas in the Mekong Basin Using GIS Data Analysis. 295: 36-44.
- Shirigure, PS and Rajput, G.S. 2012. Prediction of daily pan evaporation using neural networks models. *Science Journal Agriculcure*. 5:126–137.
- Shirigure, PS. 2011. Evaporation modeling with neural networks-A research review. *International Journal of Research and Reviews in Applied Sciences*. 2:37–47.
- Shirsath, P.B and Kumar, A.S. 2009. A comparative study of daily pan evaporation estimation using Ann, regression and climate-based models. *Water Resources Management*, 24: 1571-1581.
- Sanaei Nejad, S.H, Noori, S., Hashemi nia, M. 2011. Estimation of Evapotranspiration Using Satellite Image Data in Mashhad area, 3:540: 547. [In Persian]
- Seifi. A., Mirlotfi. S. M and Riahi. H. 2010. Development of a combined model of multiple regression - analysis of main components and factors in the prediction of evaporation - reference transpiration. *Water and soil*. 6: 1186- 1196. [In Persian]
- Sabzi parvar., A. A and Shadmani., M. 2011. Analyzing the process of evaporation and transpiration using Mann-Kendall and Spearman tests in dry areas. 4: 823 – 834. [In Persian]
- Salarian, M., Najafi, M., Nagafi, K., Eslamiyan. S. S. Heidari, M. 2014. The most Appropriate Method to Estimate Potential Evapotranspiration in Meteorological Data Scarce Condition in the Warm and Cold Months of the Year (Case Study of Isfahan). *Irrigation and drainage*. 1: 62-73. [In Persian]
- Shikh eslami, N., Ghahreman, B., Mosaedi, A., Davari, K and Mohajerpoor, M. 2014. Estimating Reference Evapotranspiration by Using Principal Component Analysis (PCA) and The Development of a Regression Model (MLR-PCA) (Case Study: Mashhad Station). *Water and soil*. 2: 420- 429. [In Persian]
- Tian, CH., Jiao, W., Beysens, D., Kaseke, K.F., Medici, M. G. Li. F and Wang, L. 2021. Investigating the role of evaporation in dewformation under different climates using  $^{17}\text{O}$ -excess. *Journal of hydrology*. 592: 125847.
- Tabari, H., Marofi, S., Aeini, A., Hosseinzadeh Talaea, P and Mohammadi, K. 2011. Trend analysis of reference evapotranspiration in the western half of Iran. *Agricultural and Forest Meteorology*.151: 128-136.
- Vicente-serrano, M. S., Begueria, S., Lopez-Mereno, J. L., Garcia-vera, M. A and Stepanek, P. 2010. A complete daily precipitation database for northeast Spain: reconstruction, quality control, and homogeneity. *Journal of Climatology*. 30: 1146–1163.
- Xu, C., Gong, L., Jiang, T., Chen, D and Singh, V.P. 2006. Analysis of spatial distribution and temporal trend of reference evapotranspiration and pan evaporation in Changjiang (Yangtze River) catchment. *Journal of Hydrology*. 327: 81–93.
- Yuting, Y., Songhao, Sh and Lei, J. 2012. Remote sensing temporal and spatial patterns of evapotranspiration and the responses to water management in a large irrigation district of North China. *Agricultural*.